

北大工 ○ 青木 洋、三好隆志、斎藤勝政

1. 緒言

自動車のボディや電化製品の外装にみられるように、世の中では様々な曲面形状をもつ製品が要求されるようになり、3次元測定機の果たす役割が重要な位置を占めてきている。しかしながら、その測定方法としてはほとんどが接触式測定法であり、測定子の影響により、いろいろな問題が生じる。そこで最近は、高速化が可能であり、また弾性体や軟体、高温の物体も測定可能であるということで光の反射を利用して多くの非接触式測定法が注目されてきている。しかしながら、従来の非接触式形状測定センサは、被測定物の表面の状態によってかなり影響を受ける。例えば、①急傾斜面での測定が困難である。②エッヂ部の測定が困難である。③粗さの方向に影響を受ける。④金属面の測定が難しいなどがあげられる。そこで、本研究は上述したような光の反射特性に影響されないセンサの開発を目的としたものであり、全方向の反射光をとらえることができる光リング式3-D形状測定センサを新たに提案するとともに、その測定原理と基本特性について報告する。

2. 測定原理

本測定センサは、NCスピンドルに取り付けられ、X軸方向にあるピッチで移動し、その度拡散反射光によって形成される光リングを観測することにより、Z軸方向の基準面からの距離を読み取る方式である。図1、図2に今回提案する光リング式3-D形状測定センサの測定原理を示す。対物レンズL1の焦点距離f1からz1離れた位置にある被測定物にレーザ光が照射され、そこで拡散反射光がレンズL1およびその後方f1の距離にある円形スリット、そしてレンズL2を通り、L2の焦点距離f2にあるCCDカメラにより光リングとして検出され、その半径rが読みとられる。このとき、変位z1と光リング半径rとの関係式は次のような手順で導出される。

レンズL1における結像公式及び $\triangle S C Q$ と $\triangle F E S$ の相似関係より

$$d = - (a \cdot 1 / f_1^2) z_1 + a \quad (1)$$

また、レンズL2における結像公式及び $\triangle C R T$ と $\triangle V U T$ などの相似関係より

$$a \cdot f_2 = r \cdot 1 + f_2 \cdot d \quad (2)$$

式(1)、(2)より

$$r = (a \cdot f_2 / f_1^2) z_1 \quad (3)$$

となり、被測定物の変位z1と光リング半径rとの間の関係は、レンズL1、L2の焦点距離f1、f2とリング形スリット半径aのみによって決まる比例定数をもつ直線関係で表わすことができる。

3. 測定方法

今回の実験に使用したレンズはL1、L2とともに焦点距離が70mmの非球面レンズであり、また、円形スリット

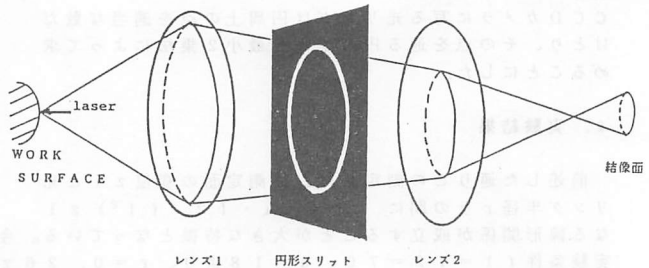


図1. 光リング式測定原理図

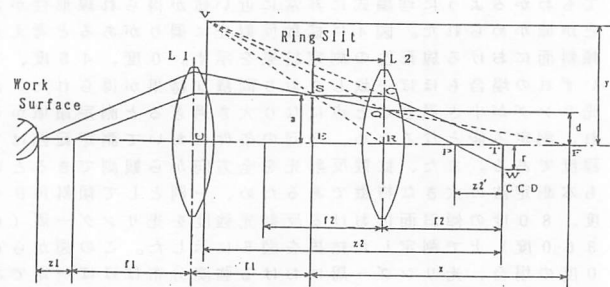


図2. 幾何学的原理図

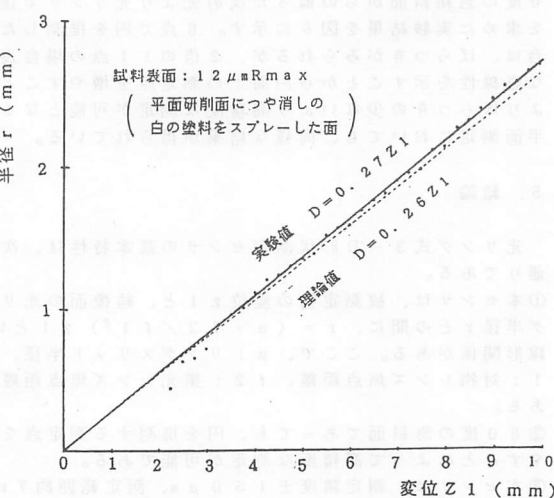


図3. 線形性 (12点測定)

ットは幅 0.2 mm、直径 3.6 mmとした。また、光リングを検出する CCD カメラは画素数 510 (H) × 492 (V)、走査面積 6.6 mm (V) × 8.8 mm (H) の面エリアセンサを用いた画像処理装置 (FRM1-512) と PC9801 からなる信号処理系を介して各ピクセルの輝度情報を取り入れることにする。このような設計値において感度は $r/z_1 = 0.273$ となり分解能は $\Delta r/z_1 \approx 50 (\mu\text{m}/\text{ピクセル})$ になる。CCD カメラに写る光リングは円周上の点を適当な数だけとり、その点を通る円の半径を最小 2 乗法によって求めることにした。

4. 実験結果

前述した通りこの測定法は、被測定面の変位 z_1 と光リング半径 r との間に、 $r = (a \cdot f_2 / f_1^2) z_1$ なる線形関係が成立することが大きな特徴となっている。今回の実験条件 $f_1 = f_2 = 70$ 、 $a = 1.8$ より、 $r = 0.26 z_1$ という理論式を得る。図 3 に円周上の点を 12 点とった場合の線形性の実験結果を示す。実験式は各測定値より 1 次回帰直線を用いて計算することによって $r = 0.27 z_1$ が得られる。グラフを見てもわかるように理論式に非常に近い値が得られ線形性があることが確かめられた。図 4 に拡散反射光に偏りがあると考えられる傾斜面における線形性の測定結果を示す。0 度、45 度、75 度いずれの場合もほぼ一致しており同様な結果が得られた。ただし、光リングが小さ過ぎると点になり大き過ぎると測定領域からはずれ、測定不能となるため、今回の条件において測定範囲は 7 mm 程度である。また、拡散反射光を全方向から観測できるというのも本測定法の大きな特徴であるため、一例として傾斜角 $\theta = 30^\circ$ 、 80° の傾斜面における反射光強度を光リング一周 (0° ~ 360°) 上で測定した結果を図 5 に示した。この図から $\theta = 30^\circ$ の場合、光リング一周における強度分布はほぼ一定であるが、 $\theta = 80^\circ$ の場合、 90° ~ 270° の範囲で低い強度を示し、一方、 0° 付近で最大強度となり分布に大きな違いがみられる。この結果を逆に利用すれば、反射光分布から被測定面の形状を推測できる可能性もあり今後の研究課題である。次に 80° の急傾斜面からの偏った反射光より光リング半径 r を求めた実験結果を図 6 に示す。6 点で円を推測した場合は、ばらつきがみられるが、2 倍の 11 点の場合良好な直線性を示すことから円周上の測定点を増やすことによりばらつきの少ないより高精度な測定が可能となる。平面測定においても、同様な結果が得られている。

5. 結論

光リング式 3-D 形状測定センサの基本特性は、次の通りである。
① 本センサは、被測定物の変位 z_1 と、結像面の光リング半径 r との間に、 $r = (a \cdot f_2 / f_1^2) z_1$ という線形関係がある。ここで、 a ：リングスリット半径、 f_1 ：対物レンズ焦点距離、 f_2 ：集光レンズ焦点距離である。
② 80° 度の急傾斜面であっても、円を推測する測定点を増やすことによって高精度な測定が可能である。
③ 本センサは、測定精度 $\pm 1.50 \mu\text{m}$ 、測定範囲約 7 mm で、最大傾斜角 $\pm 80^\circ$ 度まで測定可能である。

◇参考文献 1) 三好、他：昭和 63 年度春季精密工学会講演論文集 P 161

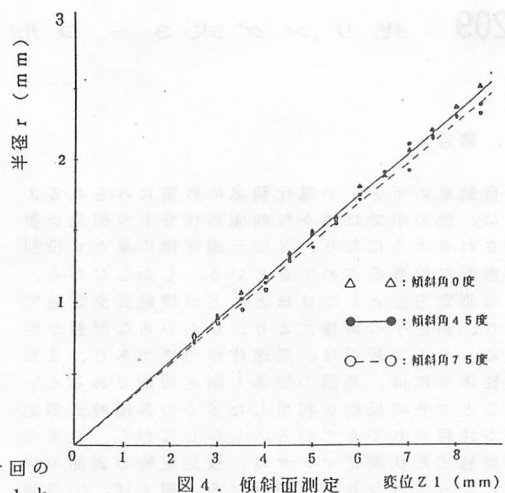


図 4. 傾斜面測定 変位 z_1 (mm)

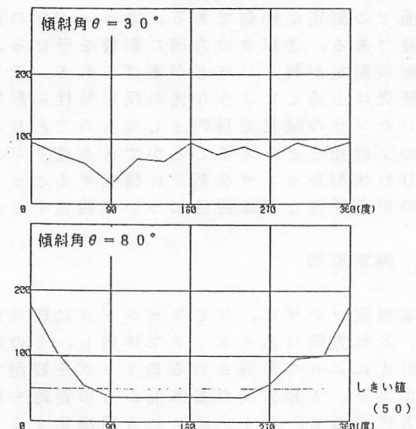


図 5. 傾斜面における反射光の偏り

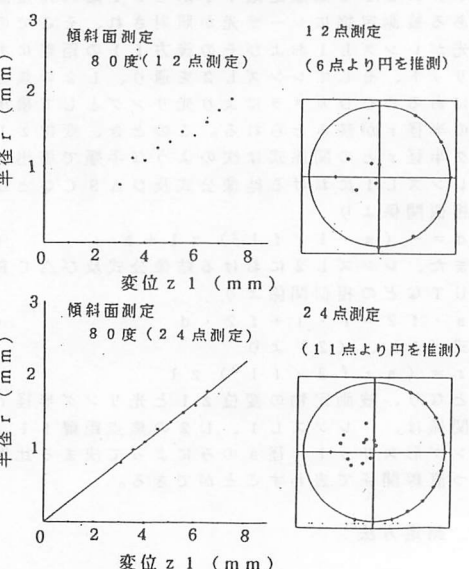


図 6. 急傾斜面測定